

บทที่ 5

การออกแบบระบบควบคุมสำหรับจักรกรรมกำลังแอกทีฟแบบบนา

5.1 บทนำ

ระบบควบคุมสำหรับจักรกรรมกำลังแอกทีฟแบบบนา แบ่งออกเป็น 2 ส่วน คือ ระบบควบคุมกระแสนดเชย และระบบควบคุมแรงดันบัสไฟตรง ดังนั้นในบทนี้จึงเป็นการนำเสนอการออกแบบค่าพารามิเตอร์ของวงจรจักรกรรมกำลังแอกทีฟแบบบนา รวมถึงออกแบบโครงสร้างการควบคุม และค่าพารามิเตอร์ของตัวควบคุม สมรรถนะการทำงานของวงจรจักรกรรมกำลังแอกทีฟที่ดี จะขึ้นอยู่กับแนวทางการออกแบบที่เหมาะสม ด้วยเหตุนี้ในบทนี้จึงเริ่มต้นนำเสนอ การออกแบบพารามิเตอร์ของวงจรจักรกรรมกำลังแอกทีฟ โดยอ้างอิงวิธีการออกแบบ 4 วิธี ได้แก่ วิธีการของ Ingram และ Round (Ingram, D.M.E. and Round, S.D., 1997) วิธีการของ Benchaita, Saadate และ Nia (Benchaita, Saadate, and Nia, 1999) วิธีการของ Thomas (Thomas, T., Haddad, K., Joos, G. and Jaafari, A., 1998) และวิธีทางปัญญาประดิษฐ์ (T. Narongrit, K-L. Areerak and A. Srikaew, 2009) รายละเอียดของแต่ละวิธีจะนำเสนอในหัวข้อที่ 5.2 ส่วนการออกแบบโครงสร้างและตัวควบคุมสำหรับควบคุมการฉีดกระแสนดเชยบนแกนดีคิวด้วยเทคนิคพืดับเบิลยูอัม จะนำเสนอในหัวข้อที่ 5.3 และหัวข้อที่ 5.4 ตามลำดับ การออกแบบตัวควบคุมแรงดันบัสไฟตรง ได้อธิบายไว้ในหัวข้อที่ 5.5 โดยที่การออกแบบระบบควบคุมในหัวข้อที่ 5.3 และหัวข้อที่ 5.5 ได้พิจารณาแบบจำลองทางคณิตศาสตร์ของวงจรจักรกรรมกำลังแอกทีฟแบบบนาบนแกนดีคิว ดังรายละเอียดที่อธิบายไว้แล้ว ในบทที่ 4 นอกจากนี้ได้นำเสนอการจำลองสถานการณ์เพื่อตรวจสอบผลการกำจัดสารมอนิกที่เกิดขึ้นในระบบไฟฟ้าที่พิจารณา

5.2 การออกแบบวงจรจักรกรรมกำลังแอกทีฟแบบบนา

ค่าพารามิเตอร์ในวงจรจักรกรรมกำลังแอกทีฟแบบบนา มีวิธีการออกแบบในแต่ละส่วนแตกต่างกัน ประกอบด้วย ส่วนที่หนึ่ง คือ การออกแบบค่าความหน่วง (L_c) ด้วยวิธีการของ Ingram และ Round ส่วนที่สอง คือ การออกแบบค่าแรงดันบัสไฟตรง (V_{dc}) ด้วยวิธีการของ Benchaita, Saadate และ Nia ส่วนสุดท้าย คือ การออกแบบค่าความเก็บประจุ (C_{dc}) ด้วยวิธีการของ Thomas สำหรับวิธีการค้นหาแบบตัญช์เชิงปรับตัว (Adaptive Tabu Search: ATS) ถูกนำมาใช้เพื่อระบุค่าพารามิเตอร์ที่เหมาะสมของค่า L_c และ V_{dc} ทั้งนี้เนื่องจากการออกแบบค่าพารามิเตอร์

ดังกล่าว ส่งผลต่อสมการนัดการฉีดกระแสเดียวของวงจรกรองกำลังแยกทีฟ ซึ่งรายละเอียดการออกแบบได้นำเสนอไว้ดังนี้

การออกแบบค่าความเห็นใจวัน (L_c) ด้วยวิธีการของ Ingram และ Round ได้นำเสนอขึ้นในปี ค.ศ. 1997 ซึ่งผลลัพธ์ของการออกแบบค่า L_c จะได้ขอบเขตที่มีขนาดไม่เกินขนาดของค่าความเห็นใจวันสูงสุด ($L_{c(\max)}$) ซึ่งค่าดังกล่าวสามารถคำนวณได้ตามสมการที่ (5-1) ดังนี้

$$L_{c(\max)} = \frac{V_{dc} - v_m}{\max\left(\frac{di_c^*}{dt}\right)} \quad (5-1)$$

โดยที่ v_m คือ ค่ายอดแรงดันไฟฟ้าที่แหล่งจ่ายกำลังไฟฟ้า (V)

$\max\left(\frac{di_c^*}{dt}\right)$ คือ ค่าอัตราการเปลี่ยนแปลงของกระแสอ้างอิงสูงสุดต่อเวลา (A/s)

จากสมการที่ (5-1) ค่า V_{dc} ควรออกแบบให้มีค่ามากกว่า 1.5 เท่าของค่ายอดแรงดันไฟฟ้าที่แหล่งจ่ายกำลังไฟฟ้าหลัก ($v_m \approx 312$ V) (Benchaita, Saadate, and Nia, 1999) และค่า $\max\left(\frac{di_c^*}{dt}\right)$ คำนวณได้จากการประกอบของกระแสชาร์มอนิกในระบบ ดังรูปที่ 5.1 โดยพิจารณาอันดับชาร์มอนิกที่มีขนาดกระแสมากที่สุด ซึ่งมีที่มาจากการที่ (5-2) และสมการที่ (5-3)

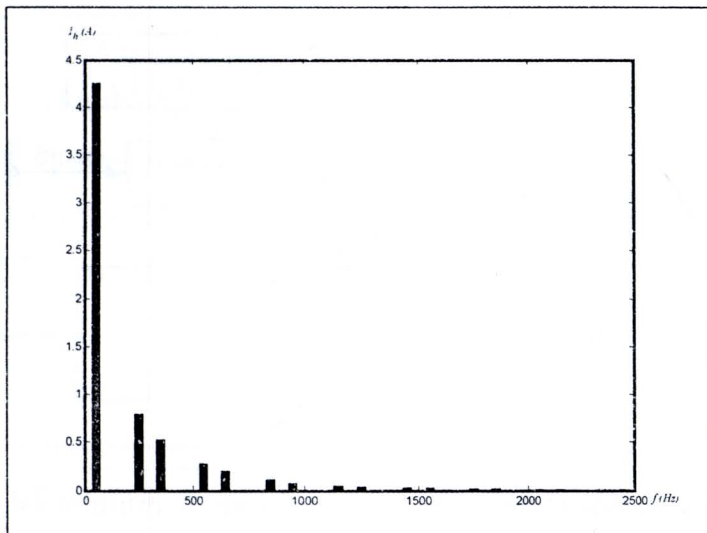
$$i_{h(\max)}(t) = I_h \sin(2\pi f t) \quad (5-2)$$

$$\max\left(\frac{di_c^*}{dt}\right) = 2\pi f I_h \quad (5-3)$$

โดยที่ I_h คือ แอมเพลจูดของกระแสชาร์มอนิกลำดับที่มีขนาดของกระแสสูงสุด (A)
 f คือ ความถี่ของอันดับชาร์มอนิกที่มีขนาดกระแสสูงสุด (Hz)

ตารางที่ 5.1 ขนาดกระแสชาร์มอนิกลำดับต่าง ๆ ที่เกิดขึ้นในระบบที่พิจารณา

| ความถี่ (Hz) | 50 | 250 | 350 | 550 | 650 | 850 | 950 | 1150 |
|---------------|--------|--------|--------|--------|--------|--------|--------|--------|
| ขนาดกระแส (A) | 4.2500 | 0.8000 | 0.5338 | 0.2820 | 0.2095 | 0.1145 | 0.0836 | 0.0449 |
| ความถี่ (Hz) | 1250 | 1450 | 1550 | 1750 | 1850 | 2050 | 2150 | 2350 |
| ขนาดกระแส (A) | 0.0350 | 0.0272 | 0.0257 | 0.0221 | 0.0199 | 0.0148 | 0.0127 | 0.0098 |



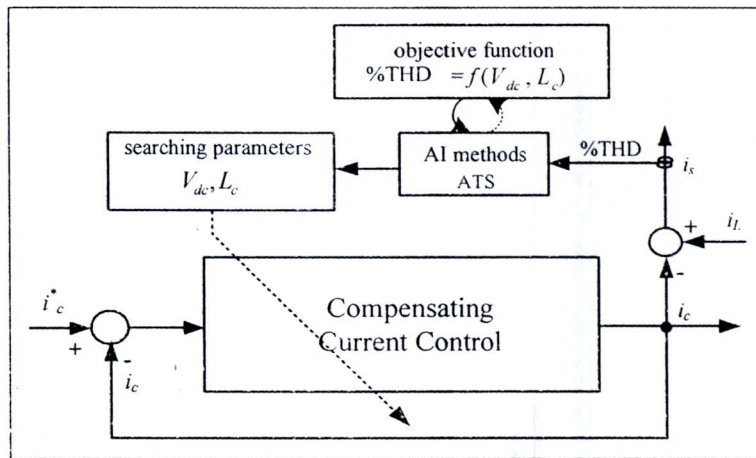
รูปที่ 5.1 ขนาดของกระแสาร์มอนิกลำดับต่าง ๆ ที่เกิดขึ้นในระบบไฟฟ้ากำลัง

จากตารางที่ 5.1 แสดงปริมาณของกระแสาร์มอนิกลำดับต่าง ๆ ที่เกิดขึ้นในระบบไฟฟ้า สังเกตได้ว่า กระแสาร์มอนิกลำดับที่ 5 ($f = 250 \text{ Hz}$) มีค่าแอมเพลจสูงสุด เท่ากับ 0.8 A จากตาราง ดังกล่าวแสดงด้วยสเปกตรัม ดังรูปที่ 5.1 ทำให้สามารถหาขอบเขตการออกแบบค่าตัวแหนี่ยวนำ สูงสุด ดังสมการที่ (5-4)

$$L_{c,\max} = \frac{V_{dc} - v_m}{2\pi f I_h} = \frac{V_{dc} - (\sqrt{2} \times 220)}{2\pi \times 250 \times 0.8} \text{ mH}; \quad V_{dc} \geq 1.5v_m \quad (5-4)$$

จากสมการที่ (5-4) สังเกตได้ว่า ไม่สามารถระบุค่าพารามิเตอร์ V_{dc} และ L_c อย่างชัดเจน ว่า ควรมีค่าเท่าใดจึงจะส่งผลให้สมรรถนะการนឹดกระแสแซดเชยดีที่สุด ดังนั้นในการระบุค่าพารามิเตอร์ ดังกล่าวให้เหมาะสมกับวงจรกรองกำลังแยกทิฟ มีความจำเป็นต้องทบทวนงานวิจัยของ ทศพร ณรงค์ฤทธิ์ (2553) ที่ออกแบบค่าดังกล่าวไว้โดยใช้การค้นหาแบบตามชิงปรับตัว ซึ่ง สามารถแสดงโครงสร้างบล็อกໄດอະแกรมขั้นตอนการออกแบบ ได้ดังรูปที่ 5.2

ขั้นตอนการออกแบบดังรูปที่ 5.2 เริ่มด้วยพิจารณา ค่ากระแสอ้างอิง (i_c^*) ที่ได้จากการ ตรวจจับอาร์มอนิก เพื่อนำมาหักลบกับค่ากระแสแซดเชย (i_c) ที่คำนวณได้จากการวนการในระบบ ควบคุมกระแสแซดเชย (Compensating Current Control) ซึ่งค่ากระแสแซดเชยดังกล่าวสามารถ คำนวณหาค่ากระแสไฟฟ้าทางด้านแหล่งจ่ายภายหลังการแซดเชย (i_s) ดังสมการที่ (5-5) และทำการ วัดค่า %THD ของรูปสัญญาณ i_s เพื่อนำค่า %THD ไปประเมินค่าตอบในรูปแบบของฟังก์ชัน วัตถุประสงค์ (objective function) จากขั้นตอนนี้สังเกตได้ว่า กระบวนการค้นหาแบบตามชิง ปรับตัว หรือ วิธี ATS

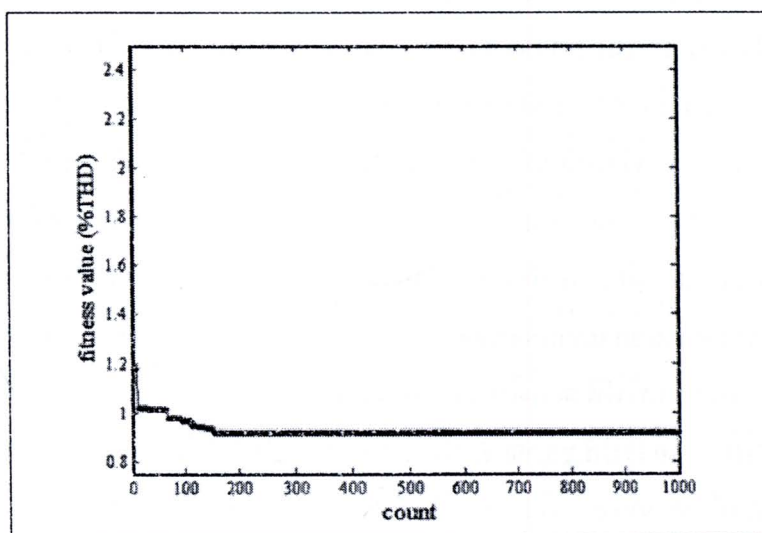


รูปที่ 5.2 บล็อกไซด์แกรมการออกแบบวงจรกรองกำลังแอกทิฟโดยใช้วิธี ATS

เข้ามาร่วมในการค้นหาค่าพารามิเตอร์ V_{dc} และ L_c โดยมีวัตถุประสงค์ของการค้นหา คือ ค่าเบอร์เซ็นต์ความเพี้ยนกระแสสารัณหินิก (%THD) ที่น้อยที่สุดทางด้านแหล่งจ่ายกำลังไฟฟ้าหลัก

$$i_s = i_L - i_c \quad (5-5)$$

จากการอธิบายขั้นตอนการออกแบบในเบื้องต้น ผลการค้นหาค่าพารามิเตอร์ แสดงได้ดังรูปที่ 5.3 จากรูปดังกล่าว แสดงการลู่เข้าของค่า %THD น้อยที่สุด เท่ากับ 0.9159 เบอร์เซ็นต์ ในจำนวนการค้นหา 1000 รอบ โดยค่าพารามิเตอร์ของวงจรกรองกำลังแอกทิฟที่ได้จากการค้นหา คือ ค่า V_{dc} เท่ากับ 750 V และค่า L_c เท่ากับ 0.039 H ซึ่งค่าดังกล่าวอยู่ในเงื่อนไขการออกแบบด้วยวิธีการดึงเดิน และส่งผลให้มีสมรรถนะการฉีดกระแสแซดเชยของวงจรกรองที่ดีอีกด้วย ดังนั้น ในงานวิจัยนี้ จึงเลือกใช้ค่าพารามิเตอร์ดังกล่าวสำหรับวงจรกรองกำลังแอกทิฟแบบขนาน

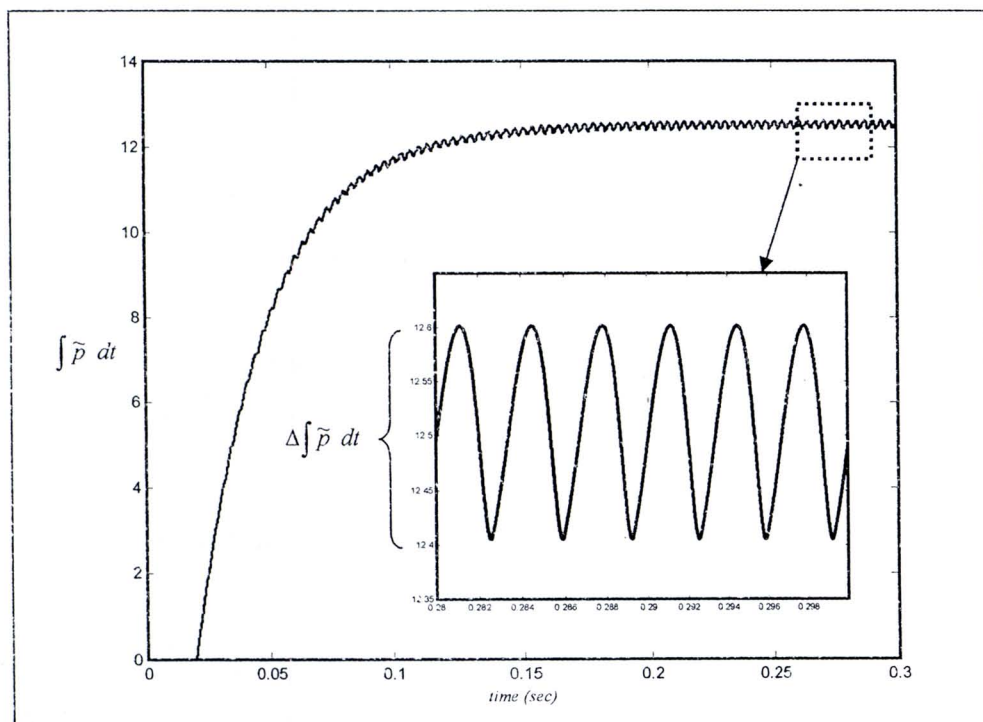


รูปที่ 5.3 การลู่เข้าของค่า %THD

สำหรับรายละเอียดต่าง ๆ เช่น การกำหนดค่าของเบตการคืนหา พารามิเตอร์ต่าง ๆ ของอัลกอริทึม และฟังก์ชันวัตถุประสงค์ คุณเพิ่มเติมได้จากบทความตีพิมพ์ของ Narongrit , Areerak และ Srikaew ในปี 2009 เรื่อง Design of an Active Power Filter using Adaptive Tabu Search ในที่ประชุมวิชาการ The 8th WSEAS Conference on Artificial Intelligence, Knowledge Engineering and Data Bases (AIKED'09) หน้าที่ 314 ถึง 318

การออกแบบค่าความเก็บประจุ (C_{dc}) ได้จากการเลือกค่าโดยใช้วิธีของ Thomas ที่ได้นำเสนอไว้ในปี ก.ศ. 1998 ซึ่งผลลัพธ์ที่ได้จากการออกแบบ คือ ขอบเขตต่ำสุดของค่าความเก็บประจุ ($C_{dc,min}$) สำหรับเป็นแหล่งสะสมพลังงานเพื่อจ่ายแรงดันให้กับวงจรรองกำลังแอคทีฟ ดังสมการที่ (5-6) การออกแบบค่าดังกล่าว ส่งผลต่อการควบคุมค่าแรงดันกระเพื่อม (ΔV_{dc}) ให้อยู่ในเกณฑ์ที่ยอมรับได้ และมีผลต่อระยะเวลาการเข้าสู่สภาพภาวะคงตัวของค่าแรงดันบัสไฟตรง เท่ากับ 750 V ดังนั้น ในงานวิจัยนี้ ผู้วิจัยกำหนดให้ ΔV_{dc} มีค่าไม่เกิน 3 V หรือไม่เกิน 0.4 เปอร์เซ็นต์ ของค่าแรงดันบัสไฟตรงที่กำหนด

$$C_{dc,min} = \frac{\Delta \int \tilde{p} dt}{\Delta V_{dc} \times V_{dc}^*} = \frac{0.2}{3 \times 750} = 88.89 \text{ } \mu\text{F} \quad (5-6)$$



รูปที่ 5.4 ผลรวมกำลังไฟฟ้าแอคทีฟ

จากการออกแบบค่าความเก็บประจุในสมการที่ (5-6) พบว่า แนวทางการออกแบบไม่ได้ อ้างอิงถึงค่าพลังงานในตัวเก็บประจุ ส่งผลให้ค่า $C_{dc,min}$ ที่ได้จากสมการข้างต้น ไม่สามารถยืนยันได้ ว่ามีพลังงานเพียงพอต่อการนำไปใช้งานร่วมกับวงจรกรองกำลังแอคทีฟ ด้วยเหตุนี้จึงมีการ ออกแบบโดยคำนึงถึงค่าพลังงานที่ตัวเก็บประจุ ดังสมการที่ (5-7) จากสมการดังกล่าว ค่ากำลังงาน $\tilde{p}(t)$ คือ อัตราการเปลี่ยนแปลงของพลังงาน ($\frac{dE}{dt}$) ที่ตัวเก็บประจุ เมื่อจัดเทอมสมการเชิงอนุพันธ์ อยู่ในเทอมอินทิเกรต จะได้ดังสมการที่ (5-8) และได้ขอบเขตคำสูดของค่าตัวเก็บประจุ ($C_{dc,min}$) ดัง สมการที่ (5-9) โดยที่ ค่า $\int \tilde{p}(t)dt$ คือ ผลรวมกำลังไฟฟ้าแอคทีฟในสภาวะคงตัว ดังนั้น จากการ ออกแบบทั้งสองวิธี การระบุค่าความเก็บประจุ ควรมีค่าอย่างน้อย เท่ากับ $88.89 \mu F$ ผู้วิจัยจึงเลือกใช้ ค่าความเก็บประจุ (C_{dc}) เท่ากับ $200 \mu F$ เนื่องจากค่านี้ถึงระยะเวลาเรเข้าสู่สภาวะคงตัวของค่า V_{dc} ที่รวดเร็ว และแรงดันพลิว (ripple voltage: ΔV_{dc}) ที่ต่ำ นอกเหนือไปจากการที่ค่าดังกล่าวอยู่ ในเงื่อนไขการออกแบบ

$$\tilde{p}(t) = V_{dc} i_{dc} = \frac{dE}{dt} \quad (5-7)$$

$$E = \int \tilde{p}(t)dt = \int (V_{dc} \cdot C_{dc} \frac{dV_{dc}}{dt})dt = \frac{1}{2} C_{dc} V_{dc}^2 \quad (5-8)$$

$$C_{dc,min} = \frac{2 \cdot \int \tilde{p}(t)dt}{V_{dc}^2} = \frac{2(12.5)}{750^2} = 44.44 \mu F \quad (5-9)$$

สรุปค่าพารามิเตอร์ของวงจรกรองกำลังแอคทีฟ ที่ใช้ในงานวิจัย ประกอบด้วย ค่าความ เหนี่ยวนำ (L_c) เท่ากับ 39 mH ค่าแรงดันบัสไฟตรง (V_{dc}) เท่ากับ 750 V และค่าความเก็บประจุ (C_{dc}) เท่ากับ $200 \mu F$ ซึ่งค่าทั้งหมดนอกจากนำมาใช้จำลองสถานการณ์ทดสอบการกำจัดสารมอนิก ในระบบแล้ว ยังนำไปใช้เพื่อออกแบบตัวควบคุมให้กับการฉีดกระแสแซดเซย์บันเกนดีคิว และการ ควบคุมแรงดันบัสไฟตรง ซึ่งจะได้นำเสนอในหัวข้อที่ 5.3 และหัวข้อที่ 5.5 ตามลำดับ

5.3 การออกแบบโครงสร้างและตัวควบคุมสำหรับการควบคุมกระแสแซดเซย์บันเกน ดีคิว

ระบบควบคุมการฉีดกระแสแซดเซย์บันเกนดีคิว ได้รับการออกแบบโดยอาศัยสมการเชิงอนุพันธ์ของกระแสแซดเซย์บันเกนดีคิว ดังสมการที่ (5-10) และสมการที่ (5-11) ตามลำดับ ซึ่งรายละเอียดที่มาของสมการได้นำเสนอไว้แล้วในบทที่ 4

$$L_c \frac{di_{cd}}{dt} + R_c i_{cd} = \omega L_c i_{cq} + v_{dl} - v_{pcc,d} \quad (5-10)$$

$$L_c \frac{di_{cq}}{dt} + R_c i_{cq} = -\omega L_c i_{cd} + v_{ql} - v_{pcc,q} \quad (5-11)$$

โดยที่ $v_{dl} = d_d V_{dc}$, $v_{ql} = d_q V_{dc}$

จากสมการดังกล่าว ผลคูณระหว่างฟังก์ชันสถานะการสวิตช์บนแกนดีคิว (d_d , d_q) กับค่าแรงดันบัสไฟตรง (V_{dc}) ลูกแทนเป็นแรงดันเอาต์พุตที่ออกจากอินเวอร์เตอร์บนแกนดีคิว (v_{dl} , v_{ql}) และทำการบวกกับสมการจะได้สมการแรงดันเชิงอนุพันธ์ที่จุด PCC บนแกนดีคิว ($v_{pcc,d}$, $v_{pcc,q}$) ดังสมการที่ (5-12) และสมการที่ (5-13)

$$v_{pcc,d} = -R_c i_{cd} - L_c \frac{di_{cd}}{dt} + \omega L_c i_{cq} + v_{dl} \quad (5-12)$$

$$v_{pcc,q} = -R_c i_{cq} - L_c \frac{di_{cq}}{dt} - \omega L_c i_{cd} + v_{ql} \quad (5-13)$$

จากเหตุผลการกำหนดคุณภาพเริ่มต้นของระบบในบทที่ 4 ทำให้ สมการที่ (5-12) และ สมการที่ (5-13) สามารถเขียนได้ใหม่ ดังสมการที่ (5-14) และสมการที่ (5-15) และจัดเทอมสมการ เชิงอนุพันธ์ใหม่อีกรึ ดังสมการที่ (5-16) และสมการที่ (5-17) เพื่อแสดงให้เห็นถึงวัตถุประสงค์ ในการที่จะควบคุมแรงดันเอาต์พุตของอินเวอร์เตอร์บนแกนดีคิว เป็นสัญญาณอ้างอิง (v_{dl}^* , v_{ql}^*) ให้กับส่วนควบคุมการสวิตช์ด้วยเทคนิคพืดับเบิลยูเอ็ม

$$\sqrt{\frac{2}{3}} \cdot \frac{3}{2} \cdot v_m = -R_c i_{cd} - L_c \frac{di_{cd}}{dt} + \omega L_c i_{cq} + v_{dl} \quad (5-14)$$

$$0 = -R_c i_{cq} - L_c \frac{di_{cq}}{dt} - \omega L_c i_{cd} + v_{ql} \quad (5-15)$$

$$v_{dl}^* = -\omega L_c i_{cq} + u_d + \sqrt{\frac{2}{3}} \cdot \frac{3}{2} \cdot v_m \quad (5-16)$$

$$v_{ql}^* = \omega L_c i_{cd} + u_q \quad (5-17)$$

จากสมการที่ (5-16) และสมการที่ (5-17) สามารถนำมาใช้อธิบายการออกแบบโครงสร้าง การควบคุมกระแสชดเชยบนแกนดิคิว ซึ่งจะนำเสนอในส่วนต่อไป โดยในส่วนนี้ตัวแปร u_d และ u_q คือ สัญญาณเอาต์พุตที่มีมาจากการเดินทางของระบบ ซึ่งมีตัวควบคุมแบบพีไอทำหน้าที่ควบคุมปริมาณ เอาต์พุตของระบบที่พิจารณาให้ได้ตามที่ต้องการ ซึ่งอธิบายได้ดังนี้

$$u_d = L_c \frac{di_{cd}}{dt} + R_c i_{cd} \quad (5-18)$$

$$u_q = L_c \frac{di_{cq}}{dt} + R_c i_{cq} \quad (5-19)$$

จากสมการที่ (5-18) และสมการที่ (5-19) นำสมการดังกล่าวมาหาฟังก์ชันถ่ายโอนเพื่อใช้ สำหรับการออกแบบตัวควบคุมแบบพีไอด้วยการแปลงลาปลาช จะได้ฟังก์ชันถ่ายโอนสำหรับplanet ดังสมการที่ (5-20) หลังจากนั้นจะดำเนินการหาฟังก์ชันถ่ายโอนของตัวควบคุมแบบพีไอ โดยเริ่มต้นจากการพิจารณาสัญญาณควบคุมแบบพีไอในรูปทั่วไปบนแกนดิคิว และแกนควน แสดงไว้ดัง สมการที่ (5-21) และสมการที่ (5-22) ตามลำดับ โดยที่ตัวแปร \tilde{i}_d คือ ค่าผลต่างระหว่าง i_{dh} กับ i_{cd} และตัวแปร \tilde{i}_q คือค่าผลต่างระหว่าง i_{qh} กับ i_{cq} ตามลำดับ เมื่อดำเนินการแปลงลาปลาชของสมการที่ (5-21) และสมการที่ (5-22) จะได้ฟังก์ชันถ่ายโอนสำหรับตัวควบคุมแบบพีไอ ดังสมการที่ (5-23)

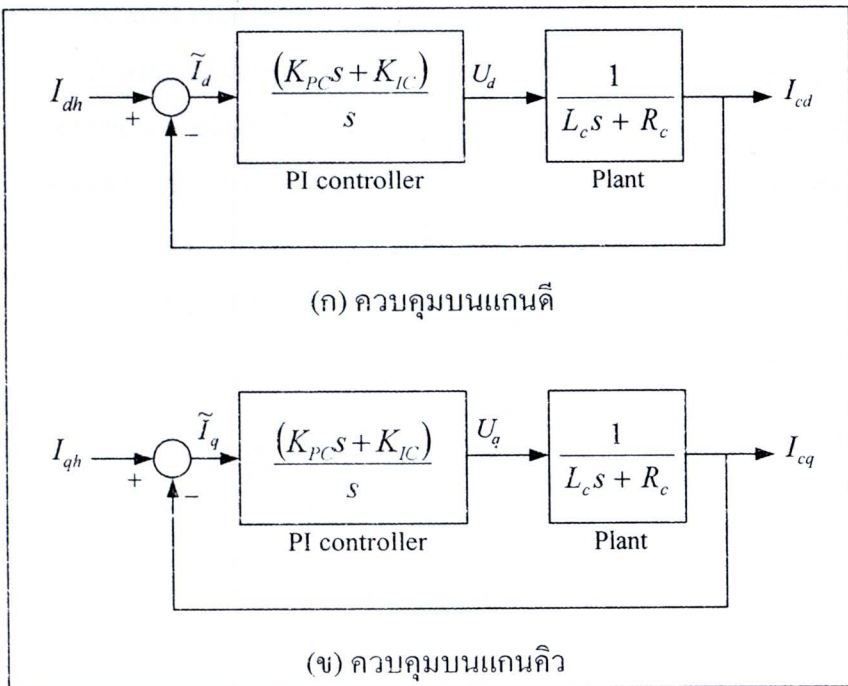
$$\frac{I_{cd}}{U_d} = \frac{I_{cq}}{U_q} = \frac{1}{L_c s + R_c} \quad (5-20)$$

$$u_d = K_{PC} \tilde{i}_d + K_{IC} \int \tilde{i}_d dt \quad (5-21)$$

$$u_q = K_{PC} \tilde{i}_q + K_{IC} \int \tilde{i}_q dt \quad (5-22)$$

$$\frac{U_d}{\tilde{I}_d} = \frac{U_q}{\tilde{I}_q} = \frac{(K_{PC}s + K_{IC})}{s} \quad (5-23)$$

สมการที่ (5-20) และสมการที่ (5-23) สามารถอธิบายเป็นแผนภาพโดยแกรมสำหรับ ระบบควบคุมกระแสชดเชยบนแกนดิคิว แสดงได้ดังรูปที่ 5.5 จากส่วนนี้จะสามารถหาฟังก์ชันถ่าย โอนวงปิด ได้ดังสมการที่ (5-24)



รูปที่ 5.5 แผนภาพโครงสร้างระบบควบคุมกระแส direct และ control

$$\frac{I_{cd}}{I_{dh}} = \frac{I_{cq}}{I_{qh}} = \frac{K_{PC}}{L_c} \left(\frac{s + \frac{K_{IC}}{K_{PC}}}{s^2 + \left(\frac{R_c + K_{PC}}{L_c} \right) s + \frac{K_{IC}}{L_c}} \right) \quad (5-24)$$

การออกแบบค่าพารามิเตอร์ K_{PC} และ K_{IC} ของตัวควบคุมแบบพีไอ จะใช้วิธีการเทียบสัมประสิทธิ์ระหว่างพจน์พหุนามลักษณะเฉพาะ (characteristic polynomial) ของฟังก์ชันถ่ายโอน วงปิดของระบบตามสมการที่ (5-24) และพจน์พหุนามลักษณะเฉพาะของฟังก์ชันถ่ายโอนอันดับสองมาตรฐาน ดังสมการที่ (5-25) จะได้ผลเฉลยของสมการ การออกแบบตัวควบคุมแบบพีไอ ดังสมการที่ (5-26) และสมการที่ (5-27)

$$G(s) = \frac{\omega_{ni}^2}{s^2 + 2\xi\omega_{ni}s + \omega_{ni}^2} \quad (5-25)$$

$$K_{PC,d} = K_{PC,q} = 2\xi\omega_{ni}L_c - R_c \quad (5-26)$$

$$K_{IC,d} = K_{IC,q} = \omega_{ni}^2 L_c \quad (5-27)$$

การออกแบบค่าพารามิเตอร์ K_{PC} และ K_{IC} บนแกนดีกิว จากสมการที่ (5-26) และสมการที่ (5-27) จะพิจารณาจากอันดับชาร์มอนิกสูงสุดที่ต้องการกำจัดในระบบ ซึ่งผู้วิจัยได้พิจารณากำจัดชาร์มอนิกถึงอันดับที่ 50 มีความถี่ เท่ากับ 2500 เฮริตซ์ ดังนั้น ค่าความถี่ธรรมชาติ (ω_n) มีค่า เท่ากับ $2\pi \times 2500 \text{ rad/s}$ และกำหนดค่าอัตราส่วนการเข้าสู่สถานะคงตัว (damping ratio: ζ) เท่ากับ $\sqrt{2}/2$ เพื่อให้การตอบสนองของระบบเป็นแบบหน่วงต่ำกว่าวิกฤต (underdamped response) ดังนั้น จะสามารถหาค่าพารามิเตอร์ของตัวควบคุมแบบพีไอ ได้ดังสมการที่ (5-28) และ สมการที่ (5-29) ตามลำดับ

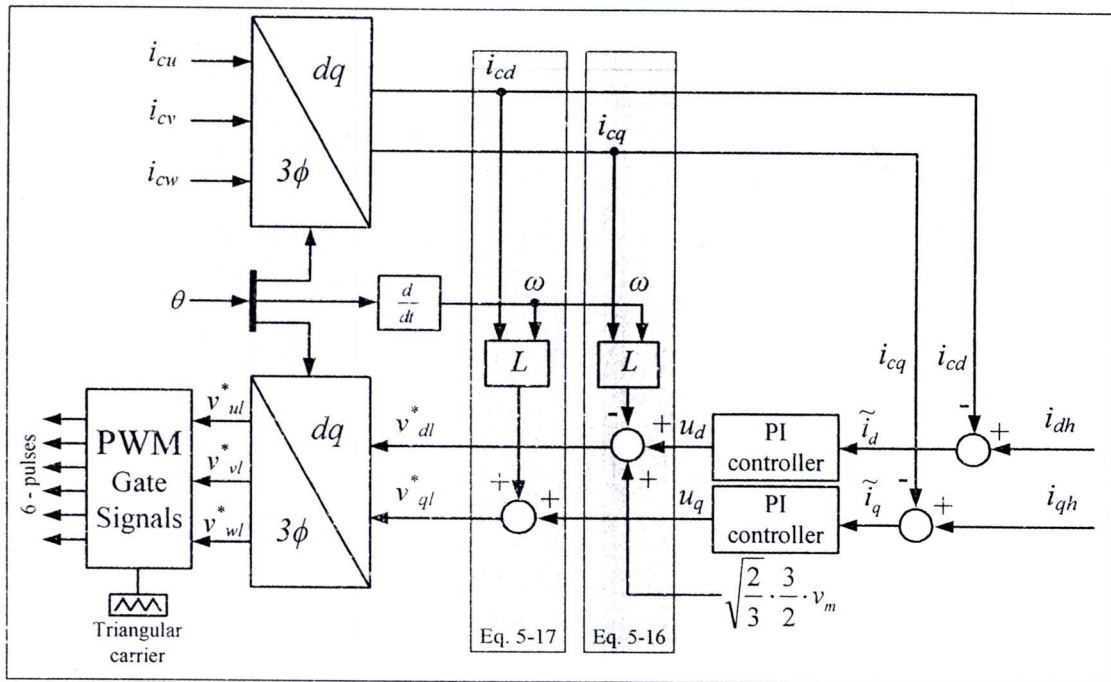
$$K_{PC,d} = K_{PC,q} = 2\left(\frac{\sqrt{2}}{2}\right)(5000\pi)(0.039) - 0 = 866 \quad (5-28)$$

$$K_{IC,d} = K_{IC,q} = (5000\pi)^2(0.039) = 9.62 \times 10^6 \quad (5-29)$$

5.4 การควบคุมกระแสชดเชยของวงจรกรองกำลังแอกทีฟแบบบานานด้วยเทคนิคพืดับเบิลยูเอ็ม

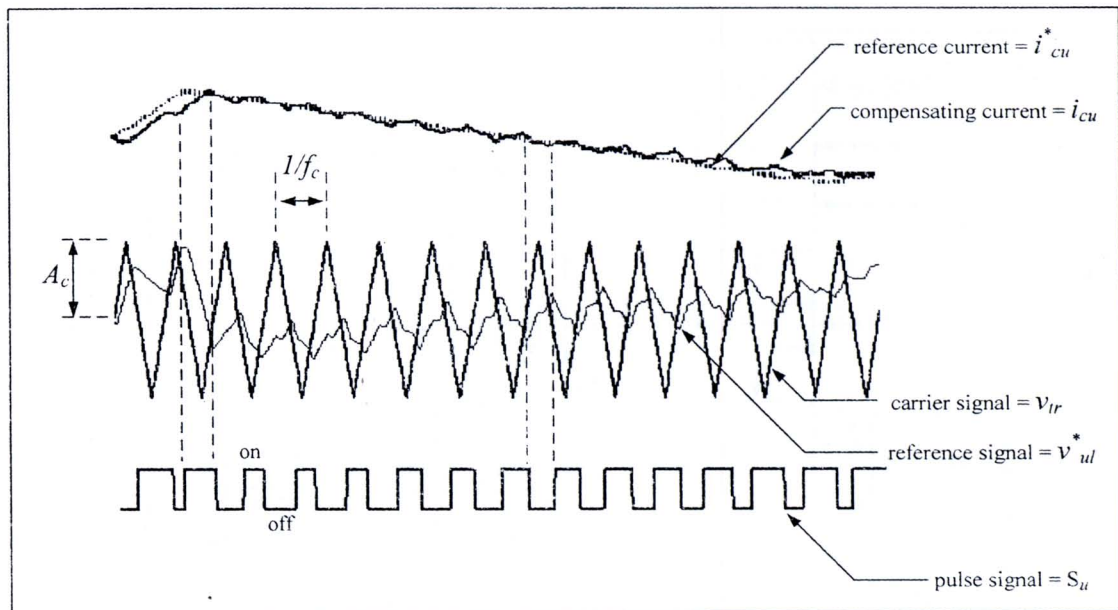
โครงสร้างการควบคุมกระแสชดเชย และพารามิเตอร์ของตัวควบคุมพีไอ ที่ได้ออกแบบในหัวข้อที่ผ่านมาถูกนำมาใช้งานร่วมกับเทคนิคการสวิตซ์ ซึ่งงานวิจัยนี้ได้เลือกใช้เทคนิคพืดับเบิลยูเอ็ม ทำหน้าที่ควบคุมการทำงานของสวิตซ์ไอจีบีที เนื่องจากเทคนิคดังกล่าวมีความถี่การสวิตซ์คงที่เท่ากับความถี่ของสัญญาณสามเหลี่ยม เหมาะสมสำหรับนำมาใช้ควบคุมแรงดันเอาต์พุตที่ออกจากร่องร้อนเวอร์เตอร์ อีกทั้งมีโครงสร้างการควบคุมที่ไม่ซับซ้อนและให้ผลการควบคุมที่ดี (Kazmierkowski and Malesani, 1998) โดยที่ระบบการควบคุมกระแสชดเชย แสดงได้ดังรูปที่ 5.6

โครงสร้างของระบบสำหรับการจำลองสถานการณ์การนิดกระกระแสชดเชยที่ใช้ตัวควบคุมแบบพีไอ พิจารณาได้จากรูปที่ 5.6 จากรูปดังกล่าวจะระແ受益อิง i_{dh} และ i_{qh} เป็นค่าที่ได้จากการคำนวณด้วยวิธี DQF จากนั้นนำค่าดังกล่าวหักลบกับค่ากระแสชดเชยจริง (i_{cd} , i_{cq}) จะได้เป็นค่าคลาดเคลื่อน- (\tilde{i}_d , \tilde{i}_q) สำหรับเป็นสัญญาณอินพุตให้กับตัวควบคุมแบบพีไอ เพื่อทำหน้าที่ควบคุมการนิดกระกระแสชดเชยให้มีความใกล้เคียงกับค่ากระแสอ้างอิง โดยเอาต์พุตที่ออกจากตัวควบคุมแบบพีไอเป็นค่าแรงดันอ้างอิง (u_d , u_q) ซึ่งค่าดังกล่าวจะปรากฏในสมการที่ (5-16) และสมการที่ (5-17) และเพื่อให้ได้เป็นแรงดันเอาต์พุตอ้างอิงของอินเวอร์เตอร์บนแกนดีกิว (v_{dl}^* , v_{ql}^*) จะต้องดำเนินการต่อไปด้วยรูปที่ 5.6 ให้สอดคล้องกับสมการดังกล่าว หลังจากนั้นนำ v_{dl}^* และ v_{ql}^* แปลงให้อยู่บนปริมาณไฟฟ้าสามเฟส (v_{ul}^* , v_{vl}^* , v_{wl}^*) เพื่อเป็นสัญญาณอ้างอิงให้กับการควบคุมการทำงานของไอจีบีทีด้วยเทคนิคพืดับเบิลยูเอ็ม



รูปที่ 5.6 โครงสร้างการควบคุมกระแสเดาซดเชยบแกนดีคิวด้วยเทคนิคพีดับเบลยูอีม

ลักษณะของการใช้เทคนิคพีดับเบลยูอีมเพื่อสร้างสัญญาณพัลส์ให้กับไอจีบีที ดังรูปที่ 5.7 สังเกตได้ว่า v_{ul}^* , v_{vl}^* และ v_{wl}^* จะคำนวณการเปรียบเทียบกับสัญญาณพาห์รูปสามเหลี่ยม (v_r) ที่มีความถี่ (f_c) และแอมเพลจูด (A_c) คงที่ค่าหนึ่ง เพื่อสร้างเมื่อสัญญาณพัลส์สำหรับควบคุมการสวิตช์ไอจีบีทีทั้ง 6 ตัว จากรูปดังกล่าว ได้ยกตัวอย่างการทำงานในกรณีไฟสี n เพื่อดูผลการเปรียบเทียบเมื่อสัญญาณ v_{ul}^* มากกว่าสัญญาณ v_r ทำให้ไอจีบีทีตัวบนนำกระแส และตัวล่างหยุดนำกระแส กระแสเดาซดเชยจิงมีค่าเพิ่มขึ้น ในทางกลับกันหากผลการเปรียบเทียบสัญญาณ v_{ul}^* น้อยกว่าสัญญาณ v_r ทำให้ไอจีบีทีตัวบนหยุดนำกระแส และตัวล่างนำกระแส กระแสเดาซดเชยจิงมีค่าลดลง การเปรียบเทียบสัญญาณในลักษณะดังกล่าวตลอดการทำงาน สังเกตได้ว่าการเปลี่ยนแปลงค่าของกระแสเดาซดเชยจิง (i_{cu}) จะมีลักษณะใกล้เคียงกับสัญญาณกระแสเดาซดเชยอ้างอิง (i_{cu}^*) โดยพบว่า ค่าความถี่ของสัญญาณ v_r มีผลกับค่าความถี่การสวิตช์ของสัญญาณพัลส์ ดังนั้น การออกแบบค่าความถี่ของสัญญาณพาห์รูปสามเหลี่ยมที่เหมาะสม จึงมีนัยสำคัญต่อสมรรถนะการนัดกระแสเดาซดเชย เนื่องจากสัญญาณอ้างอิงที่ใช้ในการเปรียบเทียบนั้นมีรูปร่างสัญญาณที่เปลี่ยนแปลงอย่างรวดเร็ว ซึ่งมีความแตกต่างกับสัญญาณรูปคลื่นไอน์ปกติทั่วไป



รูปที่ 5.7 ลักษณะการควบคุมการสวิตช์ด้วยเทคนิคพิดันเบิกยูเอ็ม

สำหรับการออกแบบความถี่ของสัญญาณพาหุ่นปะน้ำเหลี่ยม จะพิจารณาจากอันดับชาร์มอนิกสูงสุดที่ต้องการกำจัด โดยความถี่ของสัญญาณสามเหลี่ยมต้องมากกว่าความถี่ชาร์มอนิกอันดับสูงสุดที่พิจารณาเป็นสองเท่า (Thomas, 1998) ดังนั้น สามารถหาความถี่ของสัญญาณสามเหลี่ยมได้ดังสมการที่ (5-30)

$$f_c = 2 \times f_{h,\max} = 2 \times 2500 = 5000 \text{ Hz} \quad (5-30)$$

5.5 การควบคุมแรงดันบัสไฟฟ้าคงที่แบบขาน

การควบคุมค่าแรงดันบัสไฟฟ้าคงที่ตัวเก็บประจุให้คงที่ ณ จุดการทำงานที่เหมาะสมกับหนึ่งมีความสำคัญอย่างยิ่ง เนื่องจากส่วนต่อไปนี้จะมีการนำเสนอการออกแบบการควบคุมแรงดันบัสไฟฟ้าคงที่แบบขาน ในหัวข้อนี้จึงได้มีการนำเสนอการออกแบบการควบคุมแรงดันบัสไฟฟ้าคงที่แบบขานโดยเริ่มต้นวิเคราะห์จากตัวเปลี่ยนแปลงของแรงดันบัสไฟฟ้าคงที่ตามที่ได้ระบุไว้ในลักษณะของกระแสไฟฟ้าทางด้านดีซี เท่ากับกระแสไฟฟ้าออกทางด้านเอซี เมื่อดำเนินการจัดรูปใหม่ จะได้ดังสมการที่ (5-31) และจากความสัมพันธ์ระหว่างกระแสกับแรงดันที่ตัวเก็บประจุ ($i_{dc} = -C_{dc} \frac{dV_{dc}}{dt}$) แทนความสัมพันธ์ได้ใหม่ ดังสมการที่ (5-33) ซึ่งรายละเอียดที่มาของสมการได้นำเสนอไว้ในบทที่ 4

$$\frac{dV_{dc}}{dt} = -\frac{d_d}{C_{dc}} i_{cd} - \frac{d_q}{C_{dc}} i_{cq} \quad (5-31)$$

$$C_{dc} \frac{dV_{dc}}{dt} = -d_d i_{cd} - d_q i_{cq} \quad (5-32)$$

$$-i_{dc} = -d_d i_{cd} - d_q i_{cq} \quad (5-33)$$

โดยที่ $C_{dc} \frac{dV_{dc}}{dt}$ คือ พลานต์ของระบบที่พิจารณาให้มีการควบคุมแรงดัน

ตกคร่อมตัวเก็บประจุ (V_{dc})

i_{dc} คือ กระแสที่ไหลผ่านตัวเก็บประจุ (C_{dc})

จากสมการที่ (5-33) ทำการแทนค่าฟังก์ชันสถานะการสวิตช์บนแกนคีวิ ตามที่ได้อธิบายไว้ในสมการที่ (4-30) ของบทที่ 4 จะได้ความสัมพันธ์ดังสมการที่ (5-34) ค่า i_{cd} ในสมการดังกล่าว คือ สัญญาณเอาต์พุตสำหรับตัวควบคุมในส่วนการควบคุมแรงดันบัสไฟตรง เพื่อให้ง่ายต่อความเข้าใจจึงได้นิยามตัวแปร i_{cd} ขึ้นมาใหม่เป็น $i_{cd,v}$ ดังนั้นสามารถเขียนแสดงเป็นสมการความสัมพันธ์ระหว่าง i_{dc} และ $i_{cd,v}$ ดังสมการที่ (5-35)

$$-i_{dc} = -\left(\sqrt{\frac{2}{3}} \cdot \frac{M}{2} \cdot \frac{3}{2} \right) \cdot i_{cd} \quad (5-34)$$

$$\frac{-i_{dc}}{-i_{cd,v}} = \sqrt{\frac{2}{3}} \cdot \frac{M}{2} \cdot \frac{3}{2} \quad (5-35)$$

จากสมการดังกล่าวใช้การแปลงลาปลาช์ร่วมกับเทอนพลานต์ของระบบ จะได้ฟังก์ชันถ่ายโอน ดังสมการที่ (5-36) และสมการที่ (5-37) ตามลำดับ เพื่อนำมาใช้ออกแบบโครงสร้างบล็อกໄโคะแกรมการควบคุมแรงดันบัสไฟตรง

$$\frac{V_{dc}}{-I_{dc}} = \frac{1}{C_{dc}s} \quad (5-36)$$

$$\frac{-I_{dc}}{-I_{cd,v}} = \sqrt{\frac{2}{3}} \cdot \frac{M}{2} \cdot \frac{3}{2} \quad (5-37)$$

สำหรับโครงสร้างไคอะแกรมการควบคุม ดังรูปที่ 5.8 ได้พิจารณาใช้ตัวควบคุมแบบพีไอ เพื่อควบคุมแรงดันบัสไฟตรงที่ตัดคร่อมตัวเก็บประจุให้มีค่าคงที่ โดยเริ่มต้นวิเคราะห์จากตัวควบคุมแบบพีไอทางโอดเมนเวลา ดังสมการที่ (5-38) จากนั้นแปลงมาปานาชได้ดังสมการที่ (5-39) และจัดเทอมให้อยู่ในรูปฟังก์ชันถ่ายโอน ดังสมการที่ (5-40) ทำให้สามารถนำสมการที่ (5-36), สมการที่ (5-37) และสมการที่ (5-40) มาใช้อธิบายโครงสร้างไคอะแกรมจากรูปดังกล่าวได้ เพื่อหา ฟังก์ชันถ่ายโอนวงปิด โดยคำนวณการตามสมการที่ (5-41) และสมการที่ (5-42)

$$-i_{cd,v} = K_{PV} \tilde{V}_{dc} + K_{IV} \int \tilde{V}_{dc} dt \quad (5-38)$$

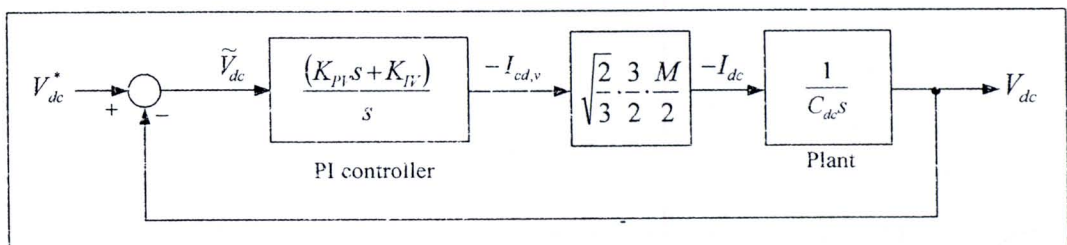
$$\text{โดยที่ } \tilde{V}_{dc} = V_{dc}^* - V_{dc}$$

V_{dc}^* คือ แรงดันอ้างอิงที่ได้จากการออกแบบ

V_{dc} คือ แรงดันที่ได้จากการวัดตัดคร่อมตัวเก็บประจุ

$$-I_{cd,v} = K_{PV} \tilde{V}_{dc} + \frac{K_{IV} \tilde{V}_{dc}}{s} \quad (5-39)$$

$$\frac{-I_{cd,v}}{\tilde{V}_{dc}} = \frac{(K_{PV}s + K_{IV})}{s} \quad (5-40)$$



รูปที่ 5.8 บล็อกไคอะแกรมการควบคุมแรงดันบัสไฟตรงด้วยตัวควบคุมแบบพีไอ

$$\frac{V_{dc}}{V_{dc}^*} = \frac{\sqrt{\frac{2}{3}} \cdot \frac{3}{2} \cdot \frac{M}{2} \left(\frac{K_{PV}s + K_{IV}}{C_{dc}s^2} \right)}{1 + \sqrt{\frac{2}{3}} \cdot \frac{3}{2} \cdot \frac{M}{2} \left(\frac{K_{PV}s + K_{IV}}{C_{dc}s^2} \right)} \quad (5-41)$$

$$\frac{V_d}{V_{dc}^*} = \sqrt{\frac{2}{3}} \cdot \frac{3}{2} \cdot \frac{M}{2} \cdot \frac{1}{C_{dc}} \cdot \left(\frac{K_{PV} s + K_{IV}}{s^2 + (\sqrt{\frac{2}{3}} \cdot \frac{3}{2} \cdot \frac{M}{2} \cdot \frac{K_{PV}}{C_{dc}})s + \sqrt{\frac{2}{3}} \cdot \frac{3}{2} \cdot \frac{M}{2} \cdot \frac{K_{IV}}{C_{dc}}} \right) \quad (5-42)$$

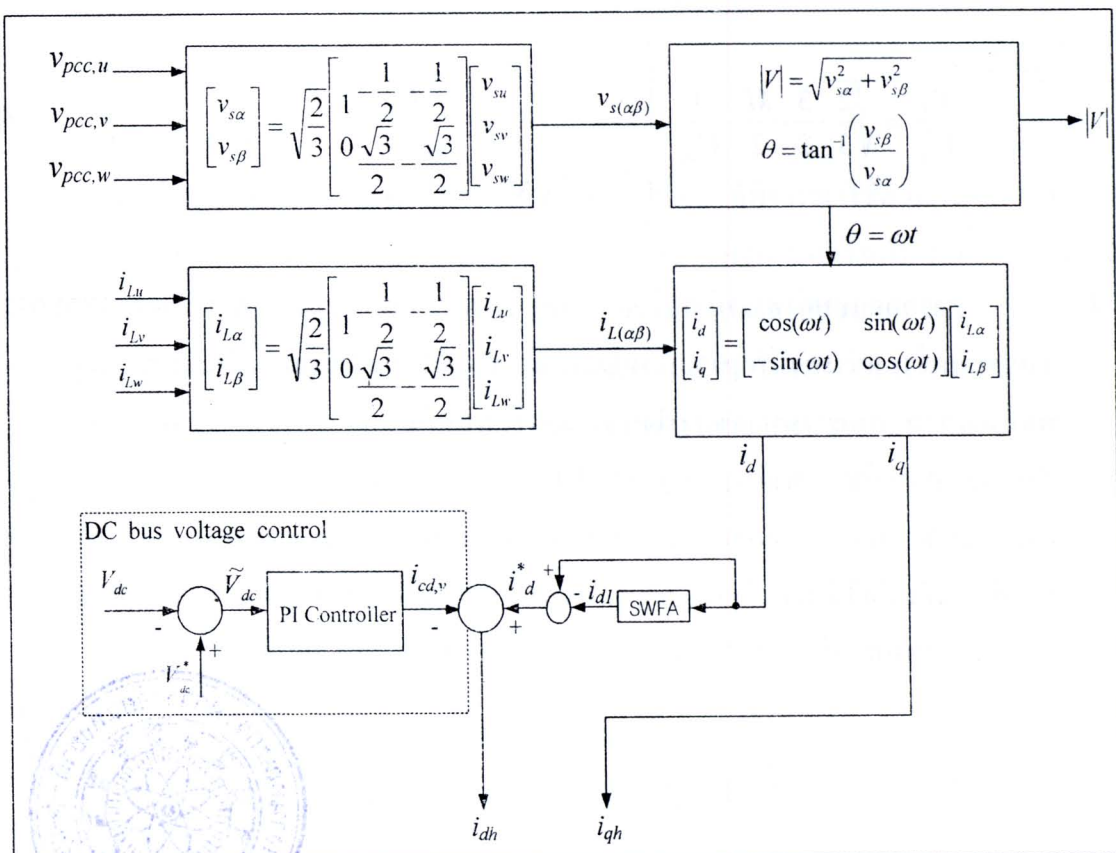
การออกแบบค่าพารามิเตอร์ K_{PV} และค่า K_{IV} ของตัวควบคุมแบบพีไอ จะใช้วิธีการเทียบสัมประสิทธิ์ระหว่างพจน์พหุนามลักษณะเฉพาะของฟังก์ชันถ่ายโอนวงปิด ดังสมการที่ (5-42) กับพจน์พหุนามลักษณะเฉพาะของฟังก์ชันถ่ายโอนอันดับสองมาตรฐาน ดังสมการที่ (5-43) โดยกำหนดค่าความถี่ธรรมชาติ (ω_{nv}) เท่ากับ 10π rad/s (Thomas, 1998) ค่าอัตราส่วนการเข้าสู่สถานะคงตัว (ξ) เท่ากับ $\sqrt{2}/2$ และค่าดัชนีการมอคูลเดต (modulation index) เท่ากับ 0.83 ณ จุดการทำงานของค่าแรงดันบัสไฟตรง เท่ากับ 750 V ดังที่ได้กล่าวในข้างต้นนี้จะสามารถหาค่าพารามิเตอร์ของตัวควบคุมแบบพีไอได้ดังสมการที่ (5-44) และสมการที่ (5-45) ตามลำดับ

$$G(s) = \frac{\omega_{nv}^2}{s^2 + 2\xi\omega_{nv}s + \omega_{nv}^2} \quad (5-43)$$

$$K_{PV} = \frac{4\sqrt{2}\xi\omega_{nv}C_{dc}}{\sqrt{3}M} = \frac{4\sqrt{2} \times \left(\frac{\sqrt{2}}{2}\right) \times 10\pi \times 200 \times 10^{-6}}{\sqrt{3} \times 0.83} = 0.0175 \quad (5-44)$$

$$K_{IV} = \frac{4\sqrt{3} \cdot C_{dc} \cdot \omega_{nv}^2}{3\sqrt{2} \cdot M} = \frac{4\sqrt{3} \times (200 \times 10^{-6}) \times (10\pi)^2}{3\sqrt{2} \times 0.83} = 0.3884 \quad (5-45)$$

บล็อกการควบคุมแรงดันบัสไฟตรงของวงจรรองกำลังแยกที่ไฟแบบขนาน (DC bus voltage control) ดังรูปที่ 5.9 รับค่าแรงดันบัสไฟตรง (V_{dc}) ที่วัดมาจากแรงดันที่ตอกคร่อมตัวเก็บประจุ (C_{dc}) นำมาหักลบกับค่าแรงดันบัสไฟตรงอ้างอิง (V_{dc}^*) ที่ได้จากการออกแบบไว้ก่อนหน้านี้ จนกระทั่งได้เป็นค่าผลต่างแรงดัน (\tilde{V}_{dc}) เพื่อเป็นค่าอินพุตให้กับตัวควบคุมแบบพีไอ ในการทำหน้าที่ควบคุมค่าแรงดันบัสไฟตรงให้คงที่เท่ากับค่าแรงดันบัสไฟตรงอ้างอิง โดยเอาต์พุตที่ออกจากตัวควบคุมแบบพีไอ ($i_{cd,v}$) จะถูกนำไปหักลบกับปริมาณชาร์มอนิกบนแกนดี (i_d^*) ที่ได้จากการตรวจจับชาร์มอนิกด้วยวิธี DQF ดังนั้น ค่าผลต่างดังกล่าว คือ ปริมาณกระแสชาร์มอนิก อ้างอิง (i_{dh}) ที่ใช้เป็นอินพุตให้กับส่วนควบคุมการฉีดกระแสแซดเชย



รูปที่ 5.9 แผนภาพการคำนวณการตรวจสอบจับชาร์มอนิกด้วยวิธี DQF ที่มีการควบคุมแรงดันบัสไฟฟ้าของวงจรกรองกำลังแยกทีฟแบบขาน

5.6 ผลการจำลองสถานการณ์และการอภิปรายผล

การจำลองสถานการณ์การจำจัดชาร์มอนิก เพื่อทดสอบสมรรถนะการควบคุมการซึ่ดกระแทกและสมรรถนะการควบคุมแรงดันบัสไฟฟ้าของวงจรกรองกำลังแยกทีฟ มีค่าพารามิเตอร์ต่าง ๆ ภายในระบบแสดงไว้ในตารางที่ 5.2 และจากการออกแบบระบบควบคุมดังที่นำเสนอไว้ในข้างต้น ระบบไฟฟ้าที่พิจารณาจำจัดชาร์มอนิกในที่นี้ แสดงได้ดังรูปที่ 5.10 จากรูปดังกล่าวอธิบายแต่ละส่วนได้ดังนี้

ส่วนที่ 1 ระบบไฟฟ้าที่พิจารณา คือ ระบบไฟฟ้ากำลังสามเฟสที่มีแรงดันไฟฟ้าทางด้านแหล่งจ่ายเท่ากับ $380 \text{ V}_{\text{L-L}}$ ความถี่เท่ากับ 50 เฮิรตซ์ โดยระบบไฟฟ้าดังกล่าวต่อเข้ากับโหลดที่ไม่เป็นเชิงเส้น คือ วงจรเรียงกระแสสามเฟสที่มีโหลดเป็นตัวต้านทานอนุกรมกับตัวเหนี่ยวนำซึ่งผลของการต่อโหลดที่ไม่เป็นเชิงเส้นจะทำให้เกิดชาร์มอนิกขึ้นในระบบไฟฟ้า

ส่วนที่ 2 บล็อกการตรวจจับชาร์มอนิก (harmonic detection) ด้วยวิธี DQF ทำหน้าที่คำนวณค่ากระแสอ้างอิงบนแกนเดลิว (i_{dh}, i_{qh}) ให้กับส่วนควบคุมกระแสแซดเชย

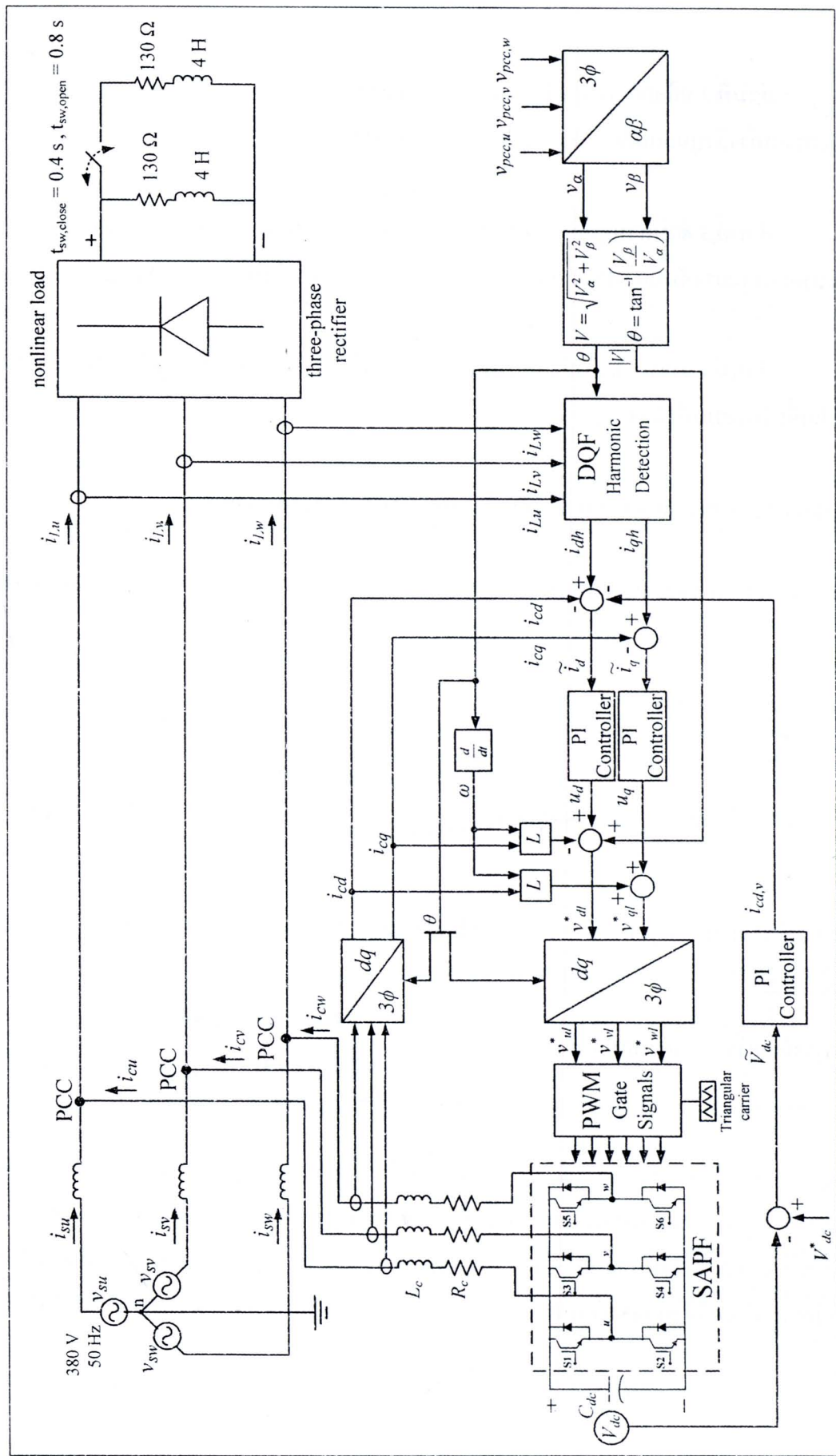
ส่วนที่ 3 ส่วนควบคุมกระแสแซดเชย ประกอบด้วย ระบบควบคุมกระแสแซดเชยบนแกนเดลิว ระบบควบคุมแรงดันบัสไฟตรง และระบบการสวิตช์อุปกรณ์ไฮจีบีทีแบบ PWM

ส่วนที่ 4 วงจรกรองกำลังแอกทิฟแบบขนาน ทำหน้าที่ฉีดกระแสแซดเชยเพื่อกำจัดชาร์มอนิกที่เกิดขึ้นในระบบที่จุด PCC

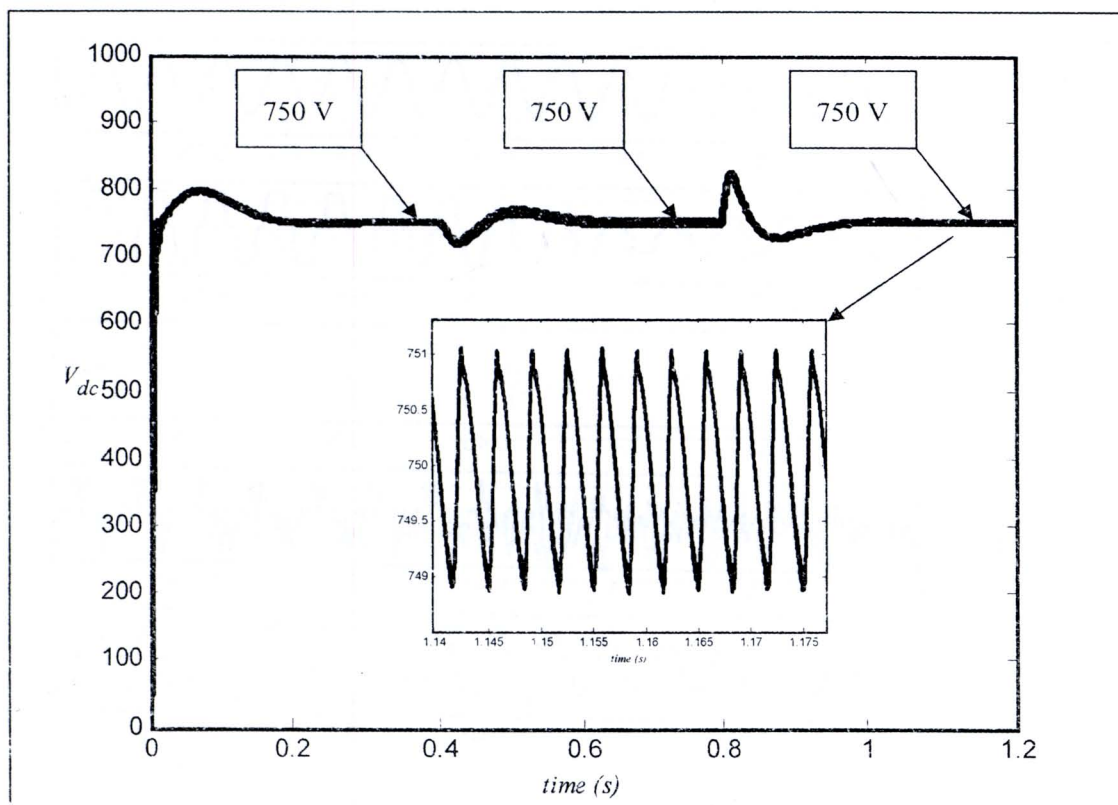
ตารางที่ 5.2 ค่าพารามิเตอร์สำหรับทดสอบสมรรถนะการกำจัดชาร์มอนิก

| | |
|---|---|
| พารามิเตอร์สำหรับแหล่งจ่ายกำลังไฟฟ้าหลัก | $V_s = 220 \text{ V}_{\text{rms}}, f_s = 50 \text{ Hz}, L_s = 10.1 \text{ mH}$ |
| พารามิเตอร์ของโหลด | $L_{L,\max} = 4 \text{ H}, R_{L,\max} = 130 \Omega$ $L_{L,\min} = 2 \text{ H}, R_{L,\min} = 65 \Omega$ |
| พารามิเตอร์ในวงจรกรองกำลังแอกทิฟแบบขนาน | $L_c = 39 \text{ mH}, V_{dc} = 750 \text{ V}, C_{dc} = 200 \mu\text{F}$ |
| พารามิเตอร์การควบคุมการสวิตช์ด้วยเทคนิค PWM | $f_c = 5000 \text{ Hz}$ |
| พารามิเตอร์ของตัวควบคุมแบบพีไอ | $K_{PC} = 866, K_{JC} = 9.62 \times 10^6$ $K_{PV} = 0.0175, K_{IV} = 0.3884$ |

การจำลองสถานการณ์ในช่วงเวลาตั้งแต่ 0 ถึง 1.2 วินาที มีการเปลี่ยนแปลงโหลดความต้านทานและโหลดความหนาแน่นของวงจรเรียงกระแสใน 2 ช่วงเวลา ได้แก่ ที่เวลา 0.4 วินาที โดยเปลี่ยนจาก R_L เท่ากับ 130Ω เป็น R_L เท่ากับ 65Ω และ L_L เท่ากับ 4 H เป็น L_L เท่ากับ 2 H และเปลี่ยนกลับมไปโหลดของวงจรเรียงกระแสซูคเดิม ที่ช่วงเวลาตั้งแต่ 0.8 วินาที เป็นต้นไป



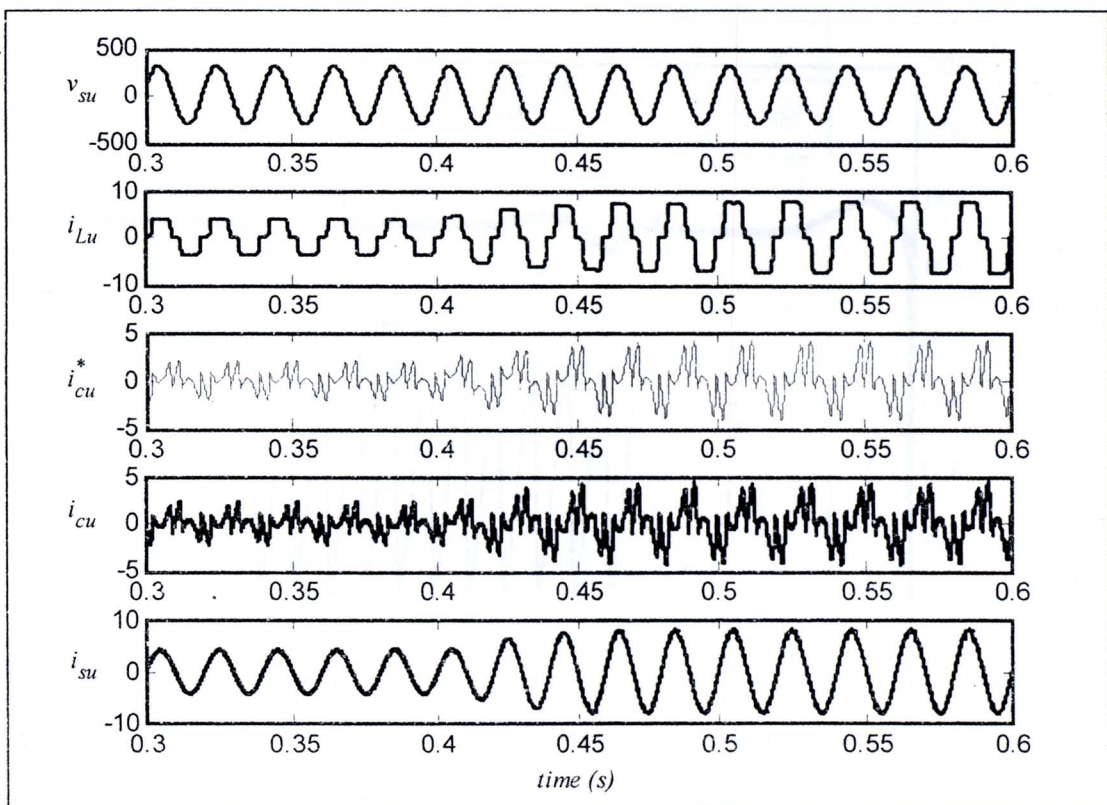
รูปที่ 5.10 การกำจัดความไม่ต่อเนื่องของกระแสไฟฟ้าในระบบขนาดใหญ่โดยการควบคุมและดับไฟฟ้า



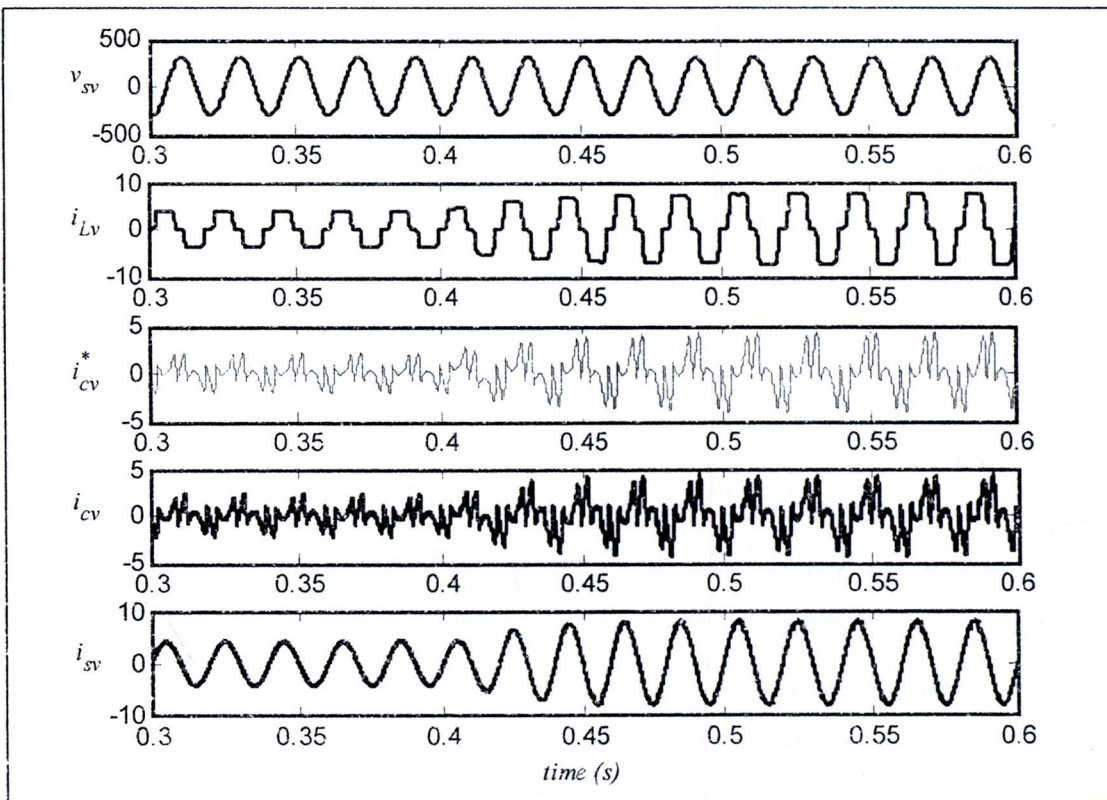
รูปที่ 5.11 ผลการจำลองสถานการณ์ค่าแรงดันบัสไฟตรง

จากรูปที่ 5.11 สังเกตได้ว่า ค่าแรงดันบัสไฟตรงของวงจรรองกำลังแยกทีฟ ในช่วงก่อนมีการเปลี่ยนแปลงของโหลด ตัวควบคุมแบบพีไอสามารถควบคุมแรงดันบัสไฟตรงได้ เท่ากับ 750 V โดยใช้เวลาในการสู้เข้าสู่ภาวะคงตัวประมาณ 0.3 วินาที ภายหลังช่วงเวลาตั้งแต่ 0.4 วินาที แรงดันบัสไฟตรงมีการสั่นไกว ในช่วงเวลาตั้งแต่ 0.4 วินาที ถึง 0.65 วินาที ซึ่งค่าดังกล่าวมีการปรับตัวลดลง และเพิ่มขึ้นในช่วงประมาณ 720 V ถึง 770 V โดยใช้ระยะเวลาประมาณ 0.25 วินาทีสำหรับปรับตัวเข้าสู่ค่าแรงดันบัสไฟตรงที่ 750 V เช่นเดิม ต่อมาเวลาตั้งแต่ 0.8 วินาที มีการปรับค่าของโหลดลดลงเท่าเดิมอีกครั้ง ทำให้ค่าแรงดันบัสไฟตรง มีการสั่นไกวจนกระทั่งกลับมาคงที่ เท่ากับ 750 V ดังเดิม

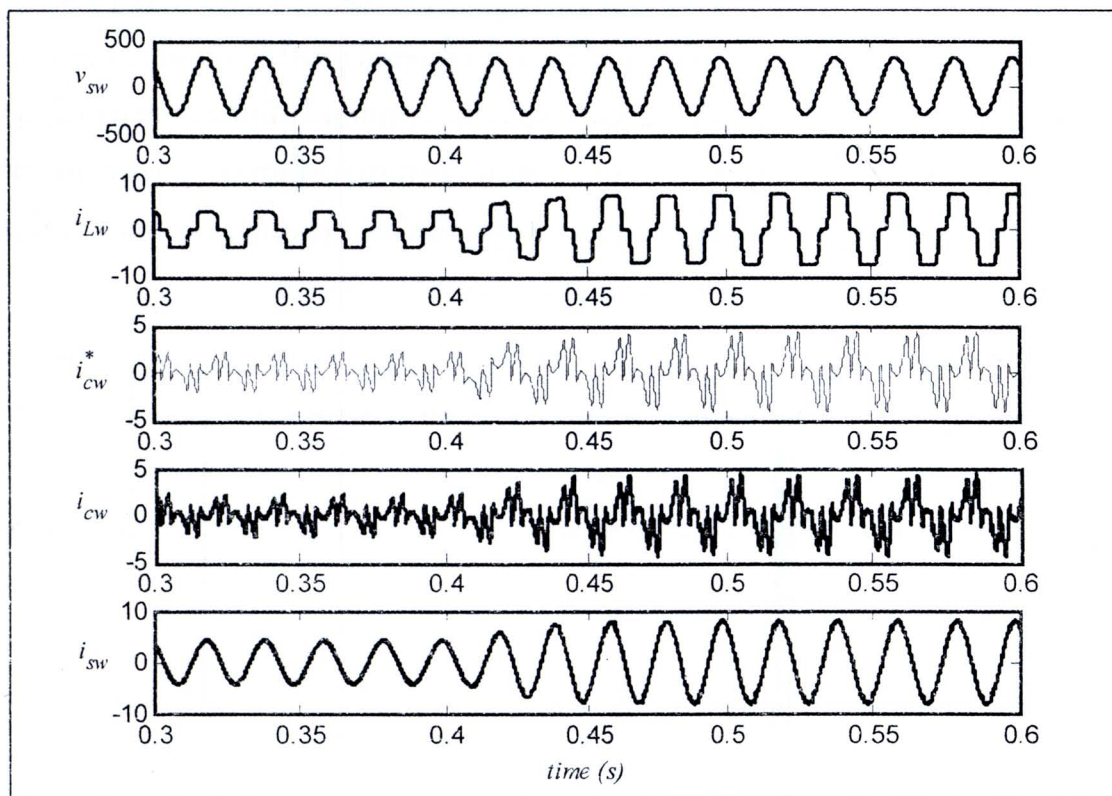
ผลการจำลองสถานการณ์เพื่อกำจัด harmonic อนิกในระบบ ดังรูปที่ 5.12 ถึงรูปที่ 5.14 แสดงในช่วงเวลา 0.3 วินาที ถึง 0.6 วินาที จากรูปดังกล่าวสังเกตได้ว่า กรณีโหลดของวงจรเรียงกระแส R_L เท่ากับ 130Ω อนุกรมกับ L_L เท่ากับ 4 H สัญญาณของกระแสทางด้านแหล่งจ่ายกำลังไฟฟ้ามีค่าของกระแสไฟฟ้าประมาณ 4.25 A และเมื่อโหลดของวงจรเรียงกระแส R_L เท่ากับ 65Ω อนุกรมกับ L_L เท่ากับ 2 H สัญญาณดังกล่าวมีค่าของกระแสไฟฟ้าประมาณ 8.70 A เมื่อพิจารณากระแสทางด้านโหลด (i_{Lu}, i_{Lv}, i_{Lw}) พบร่วมกับ ผลลัพธ์จะบิดเบี้ยวไม่เป็นรูปสัญญาณไซน์มีค่า $\% \text{THD}_{av}$ เท่ากับ 21.87 เปอร์เซ็นต์



รูปที่ 5.12 ผลการจำลองสถานการณ์กรณีเฟส n



รูปที่ 5.13 ผลการจำลองสถานการณ์กรณีเฟส n



รูปที่ 5.14 ผลการจำลองสถานการณ์กรณีเฟส w

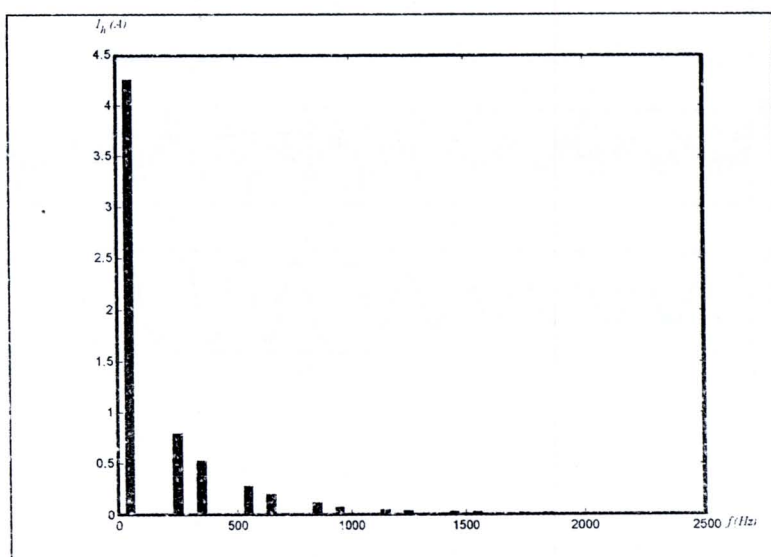
ผลจากการฉีดกระแสเดี่ยว (i_{cu}, i_{cv}, i_{cw}) เข้าสู่ระบบ พบรูปสัญญาณของกระแสทางด้านแหล่งจ่ายกำลังไฟฟ้า (i_{su}, i_{sv}, i_{sw}) ภายหลังการชดเชย มีลักษณะใกล้เคียงรูปไข่น้ำมากขึ้น ให้ค่า $\%THD_{av}$ ภายหลังการชดเชยมีค่าลดลง เท่ากับ 1.89 เปอร์เซ็นต์ ทั้งนี้รายละเอียดค่า $\%THD$ ในกรณีก่อนการชดเชยและภายหลังการชดเชย แสดงดังตารางที่ 5.3

ตารางที่ 5.3 ผลการจำลองสถานการณ์ก่อนการชดเชยและหลังการชดเชย

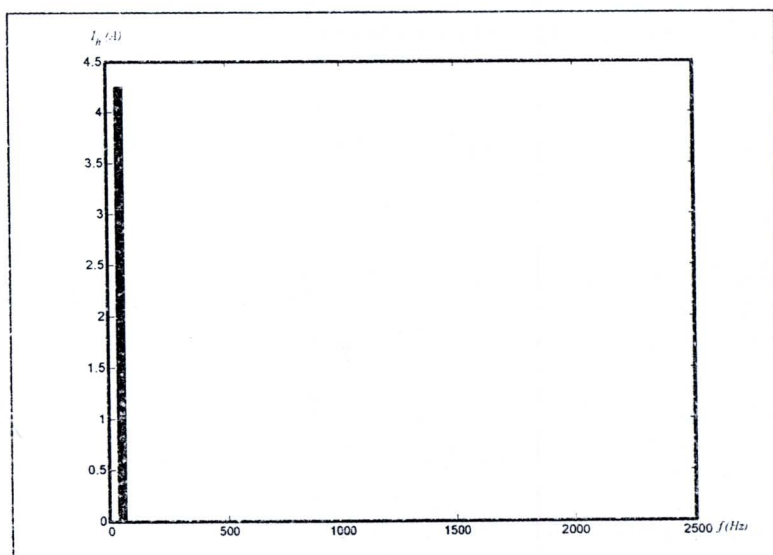
| %THD ของกระแสไฟฟ้า | เฟส | | | $\%THD_{av}$ |
|-----------------------|-------|-------|-------|--------------|
| | u | v | w | |
| %THD ก่อนการชดเชย | 21.87 | 21.87 | 21.87 | 21.87 |
| %THD หลังการชดเชย | 1.90 | 1.92 | 1.84 | 1.89 |

นอกจากนี้เมื่อพิจารณาสเปกตรัมของกระแสหาร์монิกลำดับต่าง ๆ ก่อนและหลังการฉีดกระแสเดี่ยว ยกตัวอย่างกรณีเฟส n แสดงได้ดังรูปที่ 5.15 และรูปที่ 5.16 จากรูปดังกล่าว สังเกตได้ว่า

ว่า กรณีก่อนการฉีดกระแสชดเชยให้กับระบบจะพบปริมาณฮาร์มอนิกที่ความถี่ต่าง ๆ ดังที่ได้กล่าวไว้แล้วในตารางที่ 5.1 จากนั้นเมื่อทำการฉีดกระแสชดเชย สังเกตได้ว่าลักษณะスペกตรัมของกระแสชาร์มอนิกดังรูปที่ 5.16 มีปริมาณกระแสชาร์มอนิกทุกอันดับที่ลดลง และคงเหลือเฉพาะปริมาณกระแสที่ความถี่มูลฐาน ดังนั้น จากการจำลองสถานการณ์เพื่อทดสอบการควบคุมแรงดันบัสไฟฟร์องค์ความคุ้งกับการกำจัดชาร์มอนิกในระบบ ได้ผลเป็นไปตามวัตถุประสงค์ด้วยโครงสร้างการควบคุม และค่าพารามิเตอร์ของตัวควบคุมที่เหมาะสมตามการออกแบบ



รูปที่ 5.15 สเปกตรัมของกระแสชาร์มอนิกลำดับต่าง ๆ ก่อนมีการฉีดกระแสชดเชยกรณีเฟส n



รูปที่ 5.16 สเปกตรัมของกระแสชาร์มอนิกลำดับต่าง ๆ หลังมีการฉีดกระแสชดเชยกรณีเฟส n

5.7 สรุป

ผลการจำลองสถานการณ์การกำจัดาร์มอนิกในระบบ สำหรับวงจรกรองกำลังแอคทีฟแบบบานานที่ได้รับการออกแบบโครงสร้างการควบคุมกระแสเดียว และการควบคุมค่าแรงดันบัสไฟตรง โดยพิ่งพาแบบจำลองทางคณิตศาสตร์ พบว่า กระแสไฟฟ้าทางด้านแหล่งจ่ายกำลังไฟฟ้าหลักภายหลังการชดเชยมีปริมาณหาร์มอนิกลดลงจากเดิมถึง 91.36 เปอร์เซ็นต์ และค่า %THD อยู่ในเกณฑ์มาตรฐาน IEEE Std.519-1992 ซึ่งสามารถยืนยันได้ว่าการออกแบบระบบควบคุมด้วยวิธีการดังกล่าวให้สมรรถนะการกำจัดาร์มอนิกที่ดี รวมถึงให้ผลการตอบสนองที่รวดเร็วต่อการเปลี่ยนแปลงของโหลด เนื่องจากการควบคุมพิจารณาอยู่บนแกนคีลิว อย่างไรก็ตามวัตถุประสงค์ของงานวิจัย ต้องการพัฒนาระบบควบคุมให้มีสมรรถนะการกำจัดาร์มอนิกที่ดียิ่งขึ้นกับระบบที่พิจารณาดังนั้นในบทต่อไปจึงนำเสนอวิธีการทางปัญญาประดิษฐ์เพื่อช่วยปรับปรุงระบบควบคุมดังกล่าว

สำหรับงานวิจัยในบทที่ 4 แบบจำลองทางคณิตศาสตร์ของวงจรกรองกำลังแอคทีฟแบบบานาน และบทที่ 5 การออกแบบระบบควบคุมสำหรับวงจรกรองกำลังแอคทีฟแบบบานาน ได้รับการตีพิมพ์ ดังนี้

- P. Santiprapan, K-L. Areerak, K-N. Areerak, "Mathematical Model and Control Strategy on DQ Frame for Shunt Active Power Filters", *World Academy of Science Engineering and Technology*, issue 60, December 2011, pp. 353-361.